堆積型波浪によって形成されるカスプ地形の形成と消失に関する実験的研究

金沢工業大学大学院 学生会員〇 田之上 久倫 金沢工業大学 正会員 有田 守

1. はじめに

海岸には、波打ったようなリズミカルな地形が形成 され、その地形はカスプと呼ばれ、特徴的な地形であ ることからこれまで多くの研究がなされてきた. カス プ形成には,海浜流と海浜地形の変化が影響しており, これまでカスプの形成メカニズムに関して様々な形成 要因が唱えられてきたが不明な点が多い. カスプの形 成メカニズムを解明することは、砂浜海岸の複雑な漂 砂機構の一部の説明となり、沿岸域の流体運動とそれ に伴う地形変化の予測モデルにおける一部の解明とな り、近年深刻な問題となっている海岸侵食問題を解決 する重要な要素になると考えられる. カスプには、ス パンが数 m~数十 m になるビーチカスプ, スパンが数 百m以上になるラージカスプの2種類が存在する. 玉 井(1975)は,室内実験より海浜勾配が1/10~1/15の時, 汀線付近の小さな循環流によってビーチカスプが形成 され、海浜勾配が 1/20 の時、砕波帯付近の大きな循環 流によってラージカスプが形成されることを示した. 玉井(1976)は、現地海岸でのカスプ調査結果と、室内 実験の結果をカスプの形成要因を検討する際に Battjes (1974)の砕波形式を分類する surf similarity parameter: ξ を用いて分類すると、砕波状態が巻き波を示す € > 0.5 でビーチカスプ、崩れ波を示す $\varepsilon < 0.5$ でラージ カスプが形成されることを指摘している. 吉井ら

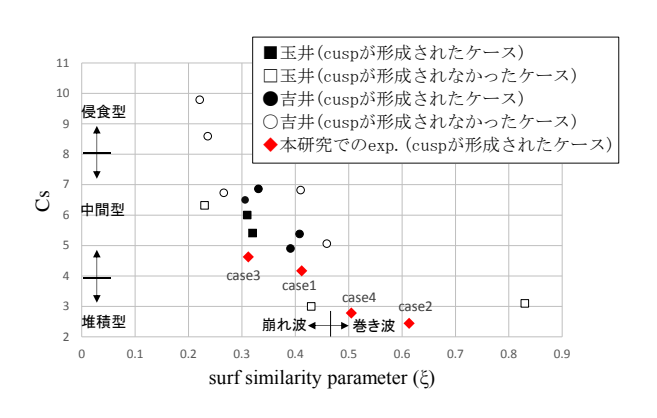


図 1 Surf similarity parameter と C_s によるカスプ 形成の有無 吉井ら(2010)

(2010)は、カスプの形成に ξ と堀川・砂村ら(1975)が提案した海岸の断面形状を分類する C_s パラメーターでラージカスプを分類し、図1のように玉井・吉井のラージカスプが形成されたケースが、 ξ が 0.3~0.41 の範囲かつ、 C_s が 4.9~7.0 の範囲に存在することを示した.しかし、実験条件が限定的でケースが少ないという問題がある.

そこで本研究では、吉井(2010)で示された形成域とは異なる領域でカスプが形成されるかを検討する。また、平衡海浜地形としてカスプが形成維持されるのかという点について長時間の波浪を作用させた実験より、検証を行うことを目的とする.

2. 実験方法

実験は,縦 15m,横 5m,深さ 1m の平面造波水槽に図 2 のような縦 5m,横 5m,高さ 25cm の実験模型を作成し,先端部には入射波の急激な変化を防ぐための1/2 傾斜の板を設置した.実験時に床が露出しないように 5cm の平面砂層を作り,その上に斜面勾配 1/20の砂層を整地した.1 時間おきに地形変化を観察し,地形変化が安定した時点で実験を終了し,造波終了時の地形をトータルステーションで計測した.実験条件は周期 $0.5\sim2.0$ s,波高 $3\sim5$ cm の範囲で C_s が 4.9 以下になる条件を選定し, ξ が $0.3\sim0.41$ の case1 δ case3,

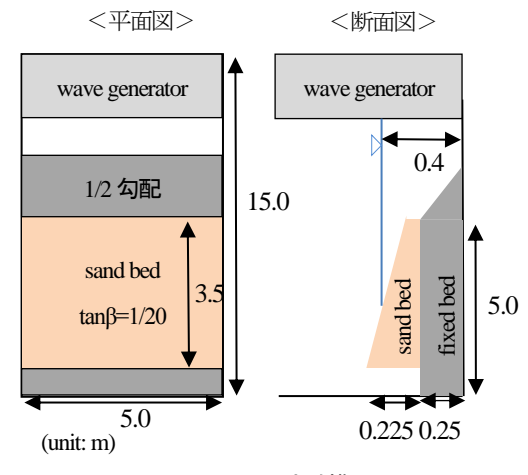


図2 実験模型

キーワード カスプ, surf similarity parameter, 平衡海浜断面

連絡先 〒924-0838 石川県白山市八束穂 3-1 TEL: 076-274-7802 FAX: 076-274-7102

 ξ が0.41以上のcase2 とcase4の4つの条件を設定した. ξ とC、は次式を使って値を求めた。

$$\xi = \frac{\tan \beta}{\sqrt{H_0/L_0}} \tag{1}$$

$$C_s = \frac{H_0}{L_0} \left(\tan \beta \right)^{0.27} \left(\frac{d}{L_0} \right)^{-0.67}$$
 (2)

 H_0 は沖波波高, L_0 は沖波波長, β は海底勾配,d は砂の粒径である.

3. 実験結果



図3 12時間後の海浜形状



図4 13 時間後の海浜形状

Case1, 2, 3 では, 4 時間が経過した時点で波長の長いカスプが形成された. Case4 では, 長時間波を作用させ, 海浜地形の変化を観察した.

Case4(H₀=3.0cm, T=1.4s)のカスプの形成過程は,造波を開始してから,沖側の砂が侵食され、その砂が汀線付近に堆積し,3時間が経過した時点でバームが形成され,4時間後にはこれまでの3ケースに比べ波長の短いカスプが形成された.その後造波を続けると5時間後には,4時間後と比べ波長の長いカスプが形成された.その後,6時間が経過するとカスプは消失し

た. さらに波を作用させると 7 時間後には再びカスプの apex が出現しカスプの発達が始まり、8 時間後には5 時間後に形成された大きさのカスプに発達した. その後、図 3 のように 12 時間後まではカスプは維持されたが、13 時間後には図 4 のように完全にカスプは消失した. カスプ形成が確認された 12 時間後の地形に関してトータルステーションで計測した結果、図 5 のように形成されたカスプの波長は、0.1m~0.6m と様々であった.

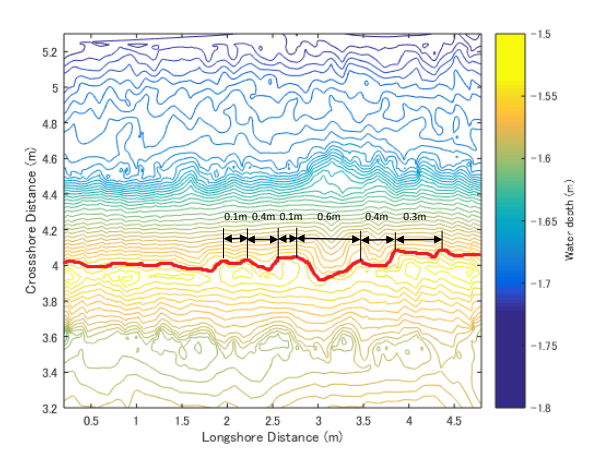


図 5 case4 の 12 時間後の地形

4. まとめ

吉井(2010)で示された ξ が 0.45 以上領域でもカスプの形成が確認された。カスプの波長の大きさと ξ の大きさに相関関係を見いだすことはできなかった。Case4の実験より、カスプは安定に海浜地形として形成され維持されるものではなく、ある波浪条件において、長期間波浪を作用させると形成と消失を繰り返すことが確認された。

5. 参考文献

1)玉井佐一:海浜カスプの形成機構に関する研究,第
22 回海岸工学講演会論文集,pp.135-136,1975.

2)玉井佐一: 現地海岸におけるカスプの特性, 第 23 回海岸工学講演会論文集, pp.253-254, 1976.

3)Battjes, J. A.: Surf similarity, Summary of 14thConf., on Coastal Eng., pp.466-480, 1974.

4)吉井匠,池野正明,出口一郎:緩勾配海浜における ラージカスプ形成に関する実験的研究,土木学会論文 集 B2(海岸工学), Vol.66, No.1, pp.521-523, 2010.

5)堀川清司,砂村継夫,近藤浩右:波による2次元汀線変化に関する一考察,第22回海岸工学講演会論文集,pp.329-334,1975.